

# Kategorie: Biofyzika

## Subcategories

This category has the following 16 subcategories, out of 16 total.

### A

- ▶ Akustika (9 P, 6 F)

### B

- ▶ Biofyzikální praktikum (1. LF UK) (1 P)
- ▶ Biofyzikální praktikum (2. LF UK) (21 P, 31 F)
- ▶ Biofyzikální schémata (109 F)
- ▶ Biomechanika tkání (1 P, 1 F)

### D

- ▶ Diagnostické přístroje (25 P, 6 F)
- ▶ Děje na membráně (9 P, 2 F)

### J

- ▶ Jaderná a atomová fyzika (37 P, 8 F)
- ▶ Jaderná fyzika a kvantové jevy (1 P)

### K

- ▶ Katalog metod v biofyzice (44 P)

### N

- ▶ Nanotechnologie (11 P)

### O

- ▶ Optika (5 P, 2 F)

### T

- ▶ Terapeutické přístroje (7 P, 2 F)
- ▶ Termodynamika (23 P, 3 F)

### V

- ▶ Vyšetřovací metody (2 P, 3 F)

### Z

- ▶ Zkouškové otázky z biofyziky (1 C, 101 P)

## Pages in category "Biofyzika"

The following 200 pages are in this category, out of 555 total.

(previous page) (next page)

### 1

- 1. Fickův zákon
- 1. termodynamický zákon

### A

- Abbeho teorie
- Absorbance

- Absorpce rentgenového záření
- Absorpce světla
- Absorpce, Lambertův zákon
- Adaptace oka na intenzitu světla
- Adenosintrifosfát
- Akomodace
- Aktivita radioaktivního vzorku
- Aktivita radionuklidu
- Aktivní transport
- Akustické trauma
- Akustický odpor
- Akustika
- Akční a sumační potenciály
- Akční potenciál (biofyzika)
- Akční potenciál (fyziologie)
- Amplituda
- Analogově digitální a digitálně analogový převod
- Analytické disperze
- Anihilace
- Antičástice
- Průvodce:Přípravné kurzy (1. LF UK)
- Asistivní technologie
- Astigmatismus
- Atomová absorpční fotometrie/Podrobnosti
- Audiometrie
- Audiometrie (2. LF UK)
- Audiometrie (biofyzika)
- Autofonie

## B

- Barevnost látek
- Barotrauma
- Barva tónu
- Barva zvuku
- Baryony
- Baryum
- Beerův zákon
- Bernoulliho rovnice
- Portál:Biofyzika
- Biofyzika sluchu
- Portál:Biofyzikální praktikum (1. LF UK)
- Portál:Biofyzikální praktikum (2. LF UK)
- Biofyzikální principy v regenerativní medicíně
- Biologická membrána
- Biologická membrána a transport látek přes biologickou membránu
- Biologické poškození tkáně
- Biologický poločas
- Biomechanika
- Biomechanika kapalin
- Biomechanika krevního oběhu
- Biomechanika svalového stahu
- Biomechanika tkání
- Biosignalsplux (2. LF UK)
- Biosignály
- Biosignály z pohledu biofyziky
- Biosignály z pohledu biofyziky/analogový přenos signálu
- Biosignály z pohledu biofyziky/elektrické biosignály v organismu
- Biosignály z pohledu biofyziky/frekvenční spektrum signálu
- Biosignály z pohledu biofyziky/obvyklé průběhy signálů
- Biosignály z pohledu biofyziky/zkreslení signálu během přenosu
- Bodypletysmografie
- Bohrov model
- Brachyterapie
- Braggův vrchol (heslo)

## C

- Cesiové a kobaltové ozařovače
- Charakteristiky biosignálů
- Charakteristiky elektrických biosignálů
- Chemická aktivita
- Chemický potenciál
- Clarius C3
- CMYK barevný model

- Co pohání naše buňky
- Comptonův jev - co dokazuje, přínos
- Comptonův jev - v čem spočívá
- Comptonův rozptyl
- Comptonův rozptyl rentgenového záření, clony
- Uživatel:Cooba/Pískoviště6
- Coulombův zákon a permitivita prostředí
- CRT obrazovka
- Cvičné testy z biofyziky (2.LF UK)
- Cvičné testy z biofyziky (2.LF UK)/2016-17
- Cvičné testy z biofyziky (2.LF UK)/2017-18
- Cvičné testy z biofyziky (2.LF UK)/2018-19
- Cévní náhrady

## D

- Dalekozrakost
- Defibrilace a kardioverze
- Denní osvětlení
- Denzitometrie
- Dermatoskopie
- Detekce ionizujícího záření
- Detekce obrazu
- Detektory optického záření
- Diadynamické proudy
- Diagnostické užití ultrazvuku
- DICOM
- Diferenciální zesilovač
- Difrakce světla
- Difuze
- Digitální obraz
- Disperse světla
- Disperzní systémy
- DNA čipy
- Dopplerovská echokardiografie
- Dopplerovská sonografie (2. LF UK)
- Dopplerovská ultrasonografie
- Dopplerovská ultrasonografie v medicíně
- Dopplerovská zobrazení
- Dopplerovský průtokoměr
- Dopplerův jev
- Dozimetrie

## E

- Echogenita tkání
- Echokardiografie
- EEG/Katalog metod v biofyzice
- Efektivní, fyzikální a biologický poločas
- EKG vyšetření
- EKG/Katalog metod v biofyzice
- Ekvipartiční teorém
- Elastické vlastnosti tkání
- Elastografie
- Elektrická aktivita buněk, tkání a orgánů
- Elektrická impedance
- Elektrická impedance tkání
- Elektrická impedance/NMGr
- Elektrické a magnetické pole
- Elektrické a magnetické vlastnosti tkání
- Elektrické vlastnosti koloidů
- Elektrický dipól
- Elektrochemická koroze kovů v ústní dutině
- Elektrochemický potenciál protonů
- Elektrochemie
- Elektroodové děje
- Elektroodové děje/Elektrochemický potenciál
- Elektrody pro diagnostiku
- Elektroforéza
- Elektrokardiografie (2. LF UK)
- Elektrokardiografie (2. LF UK)/Vyhodnocení
- Elektrokardiografie/Fyzika
- Elektrokauter
- Elektrolýza
- Elektromagnetická interakce

- Elektromagnetická interakce
- Elektromagnetické ionizující záření
- Elektromagnetické spektrum
- Elektron-pozitronové páry
- Elektronový mikroskop
- Elektronový obal těžkých atomů
- Elektrostatické pole
- Elektrostimulace
- Elektrostimulační metody
- Elektroterapie
- EMG/Katalog metod v biofyzice
- Endocytóza
- Energie a intenzita světla
- Entalpie
- Entropie
- Entropie živých systémů
- Ergometrie
- Ergometrie (2. LF UK)
- Ergometrie2 (2. LF UK)
- Erytrocyty/Katalog metod v biofyzice
- Evokované potenciály (2. LF UK)
- Evokované potenciály (2. LF UK) OLD
- Exocytóza

## F

- Fetální Dopplerometrie
- Flemingovo pravidlo levé ruky
- Fluorescence
- Fluorescenční mikroskop
- Fluorescenční spektroskopie
- Fosforescence
- Fotoelektrický jev
- Fotoluminiscence
- Fotom
- Fotometrie
- Foton
- Fototerapie
- Fototerapie/Katalog metod v biofyzice
- Frekvence
- Frekvenční a výkonové spektrum
- Fyzikální a chemické vlastnosti vody
- Fyzikální vlastnosti krve
- Fázové změny
- Försterův rezonanční přenos energie

## G

- Gamakamera
- Gibbsova energie
- Gradient

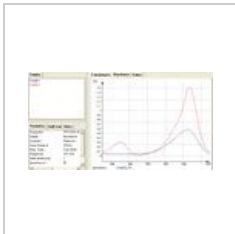
## H

- Hadrony
- Hagenův-Poiseuillův zákon
- Hallův jev
- Harmonický oscilátor
- Hemodialýza/Katalog metod v biofyzice
- Hemofiltrace
- Henryho zákon
- Historie objevů v oblasti radioaktivity
- Historie světelné mikroskopie
- Hlasitost
- Hloubka ostrosti mikroskopu
- Hluková zátěž
- Hmota a energie
- Huygensův princip

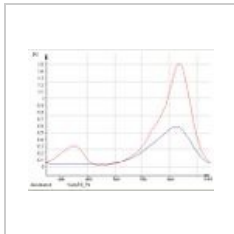
(previous page) (next page)

## Media in category "Biofyzika"

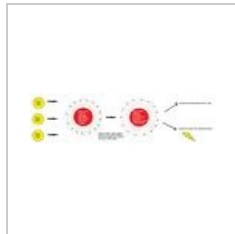
The following 122 files are in this category, out of 122 total.



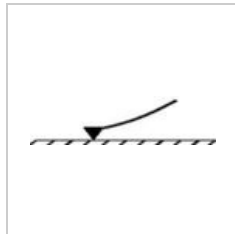
Absorbance vzor...  
769 × 404; 41 KB



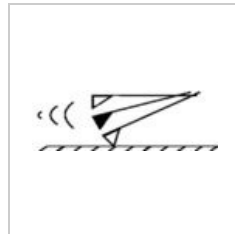
Absorbce.jpg  
506 × 386; 23 KB



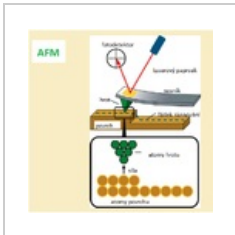
Absorbcezareni.jpg  
3,296 × 952; 394 KB



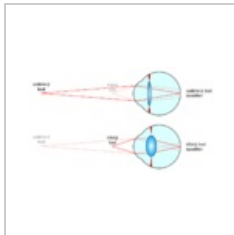
AFM - kontaktni ...  
330 × 84; 3 KB



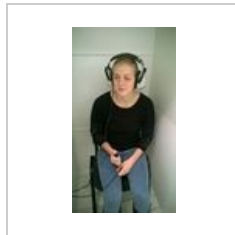
AFM - poklepovy ...  
366 × 118; 6 KB



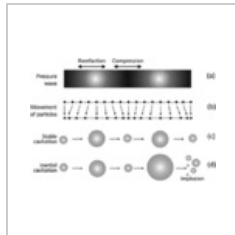
AFM.png  
464 × 460; 93 KB



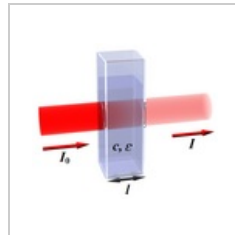
Akomodace oka...  
960 × 540; 14 KB



Audio vyšetření.j...  
2,000 × 3,552;  
2.72 MB



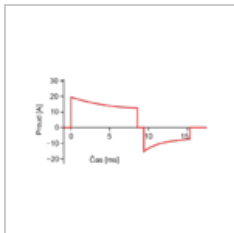
B823051j-f1.gif  
392 × 260; 31 KB



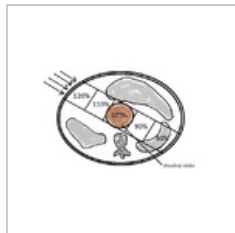
Beer lambert1.png  
600 × 504; 117 KB



BF.png  
579 × 91; 6 KB



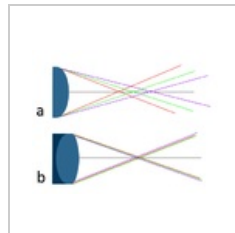
Bifazicka.png  
650 × 360; 13 KB



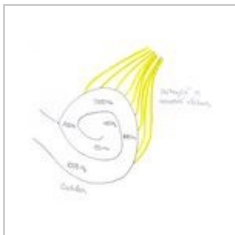
Biof.png  
683 × 468; 76 KB



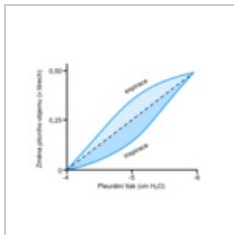
Biofizika-ultrazv...  
0 × 0; 413 KB



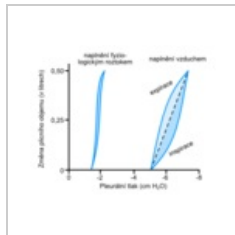
Chromaticka abe...  
407 × 317; 22 KB



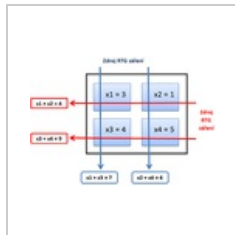
Cochlea-frekvenc...  
2,687 × 2,402; 447 KB



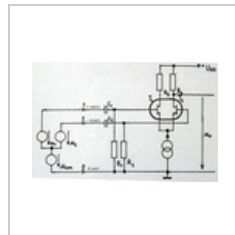
Compliance 1.png  
340 × 280; 21 KB



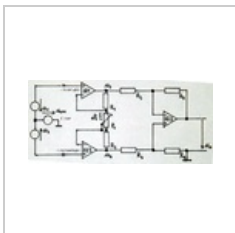
Compliance 2.png  
340 × 280; 25 KB



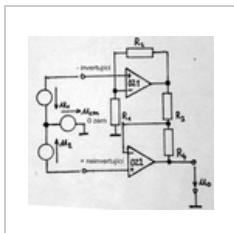
Ct.png  
280 × 196; 19 KB



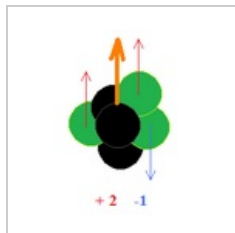
Diferencialni zesi...  
600 × 386; 358 KB



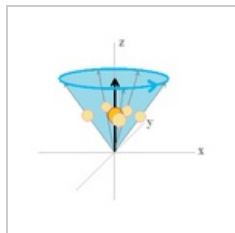
Diferencialni zesi...  
800 × 360; 491 KB



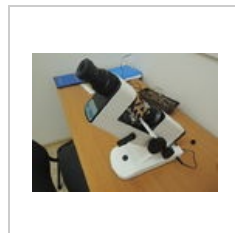
Diferencialni zesi...  
400 × 376; 123 KB



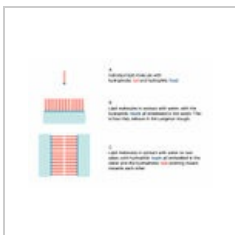
Dipol.png  
164 × 217; 3 KB



Dipolprecise.png  
266 × 258; 5 KB



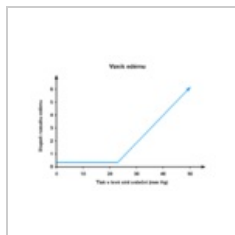
DSCN7750.JPG  
4,608 × 3,456;  
3.09 MB



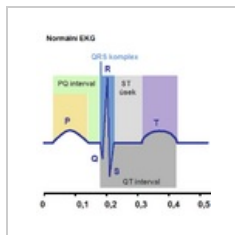
Dvojvrstva.jpg  
569 × 398; 45 KB

$$E = h \frac{c}{\gamma}$$

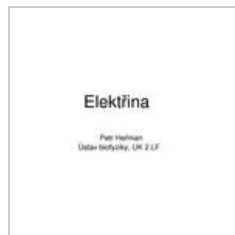
Ecf.png  
80 × 67; 602 bytes



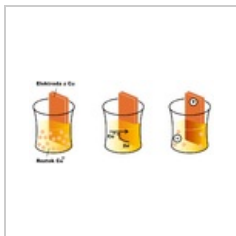
Edem plic.png  
520 × 380; 20 KB



Ekg-schema.png  
387 × 411; 6 KB



Elektrina-ws1.pdf  
1,654 × 1,239, 40  
pages; 586 KB



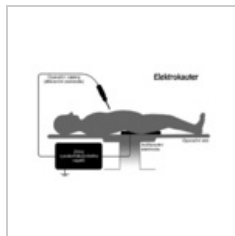
Elektrochemicky ...  
900 × 406; 146 KB



Elektroda noha.jp...  
3,456 × 2,210;  
1.35 MB



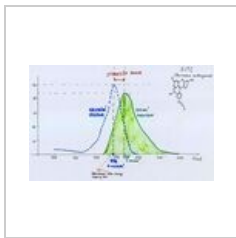
Elektroda ruka.jpeg  
3,456 × 2,202; 1.4  
MB



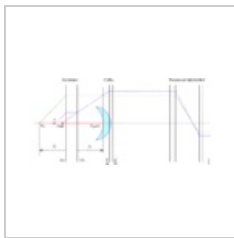
Elektrokauter.png  
1,024 × 650; 23  
KB



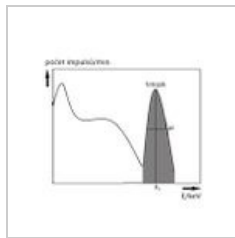
Fantom.jpg  
149 × 204; 3 KB



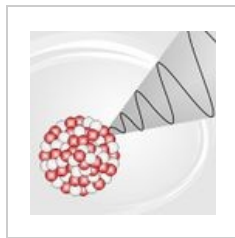
FITC excitacni a ...  
1,920 × 1,207; 243  
KB



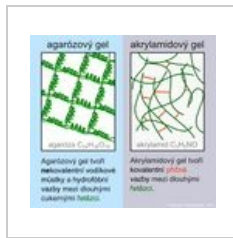
Fokometr.png  
833 × 388; 47 KB



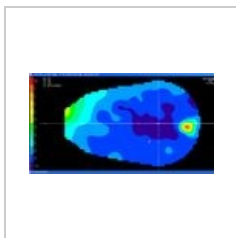
Fotopik.jpg  
499 × 471; 19 KB



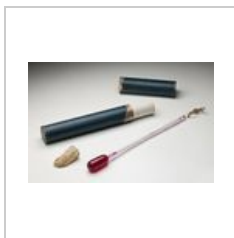
Gammadecay-1.j...  
600 × 593; 40 KB



Gel111.jpg  
1,525 × 1,423; 470  
KB



Glaucoma test.jpg  
1,130 × 610; 95  
KB



Hillův katateplo...  
1,684 × 1,100; 69  
KB

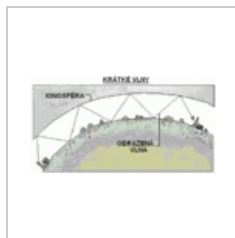
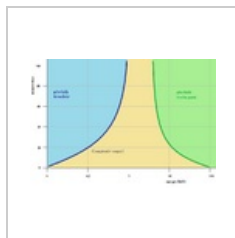
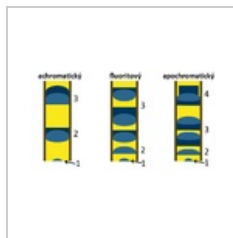


Image003.gif  
589 × 310; 35 KB



Inetrakcefoton.png  
731 × 504; 19 KB



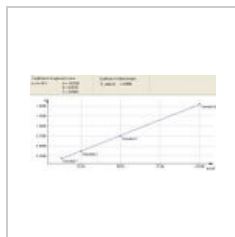
Julie cocky.png  
903 × 508; 25 KB



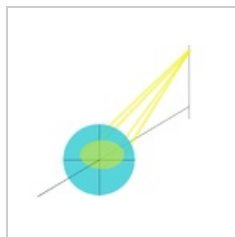
K3B - Biomechan...  
0 × 0; 356 KB



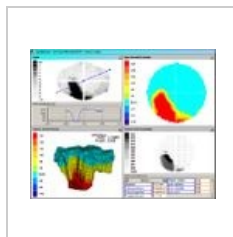
K8J-projekt-biofy...  
0 × 0; 3 MB



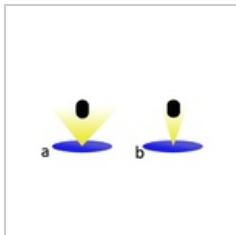
Kalibracni krivka....  
644 × 334; 23 KB



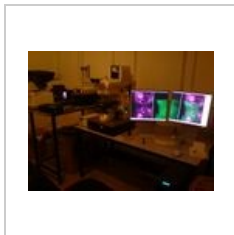
Koma.png  
706 × 587; 40 KB



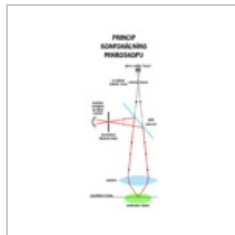
Kombinované zo...  
487 × 392; 38 KB



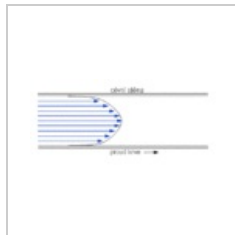
Kondenzatorova ...  
386 × 194; 6 KB



Konfokalni mikris...  
800 × 600; 60 KB



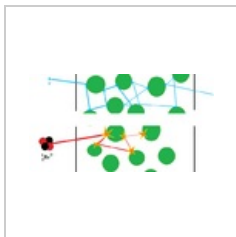
Konfokální mikro...  
566 × 1,285; 29  
KB



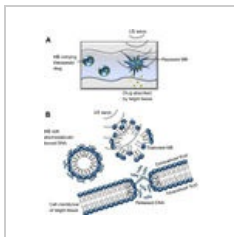
Laminarni proud...  
462 × 213; 3 KB



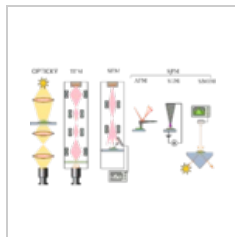
Laser.pdf  
0 × 0; 261 KB



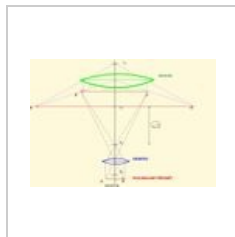
LET.png  
628 × 329; 14 KB



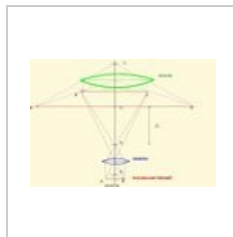
Mechanismus pů...  
569 × 674; 199 KB



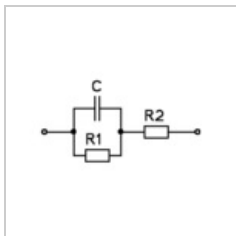
Mikroskop 1000....  
1,000 × 719; 98  
KB



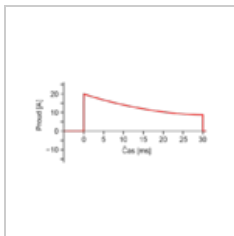
MIKROSKOP.jpg  
693 × 480; 24 KB



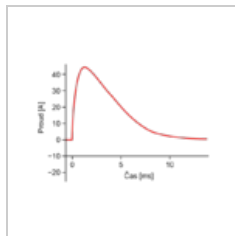
MIKROSKOP1.jpg  
693 × 480; 23 KB



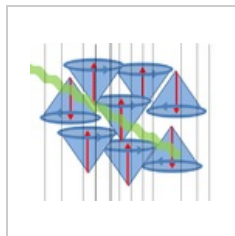
Model tkane.png  
377 × 212; 2 KB



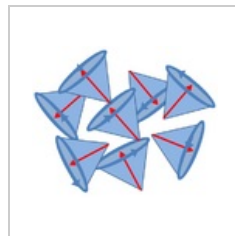
Monofazicka exp...  
650 × 333; 12 KB



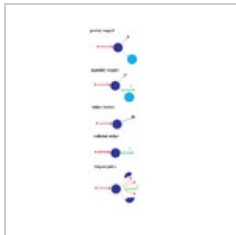
Monofazicka sinu...  
650 × 462; 19 KB



MRLamor.png  
488 × 415; 38 KB



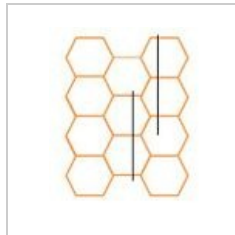
Nahodne dipoly.p...  
464 × 384; 34 KB



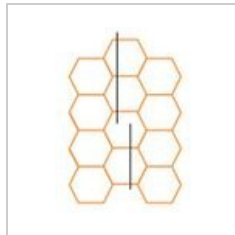
Neutronove inter...  
259 × 738; 11 KB

$$\varphi = \frac{1}{V_1 F} = \frac{F_k Z}{f_k^2}$$

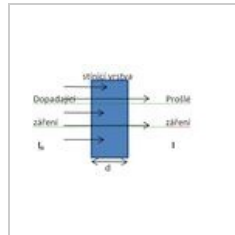
Newtonova zobra...  
137 × 55; 9 KB



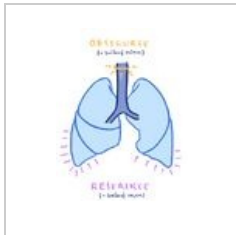
Noniova1.jpg  
208 × 257; 7 KB



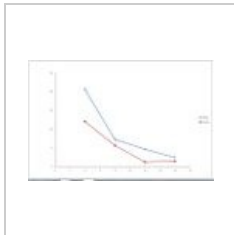
Noniova2.jpg  
190 × 259; 7 KB



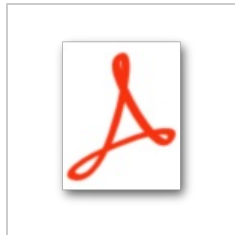
Obr zarení.jpg  
800 × 489; 19 KB



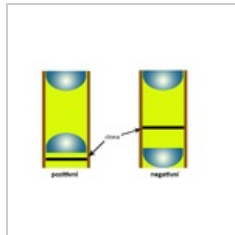
Obstrukce vs res...  
2,182 × 3,086; 371 KB



Ochrana vzdalen...  
997 × 649; 40 KB



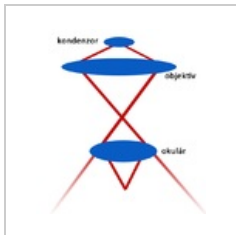
Oko z pohledu bi...  
0 × 0; 674 KB



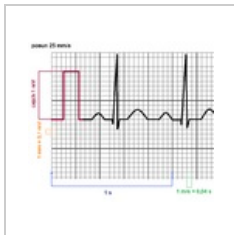
Okulary.png  
940 × 599; 53 KB



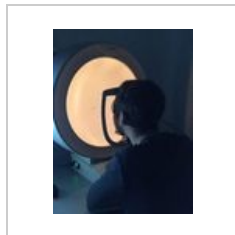
Optickymikro.png  
396 × 600; 264 KB



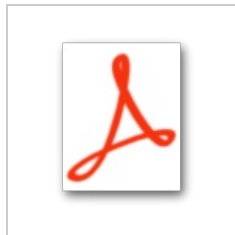
Paprsky mikrosk...  
628 × 685; 33 KB



ParametryEKG.png  
664 × 577; 21 KB



Perimetr-jonas.jpg  
538 × 716; 24 KB



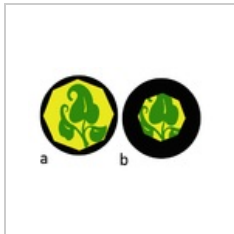
Plakát-biofyzika-š...  
0 × 0; 1.03 MB



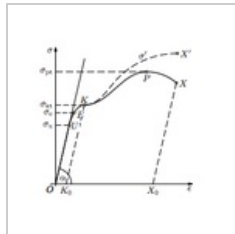
Podélné vlnění.PNG  
244 × 135; 5 KB



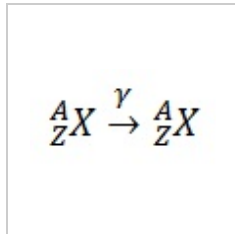
Polarizace světla,...  
2,500 × 806; 257 KB



Polni clona.png  
405 × 228; 18 KB



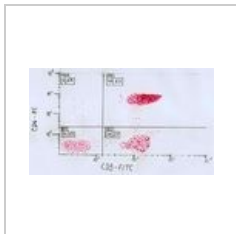
Prac diagram.png  
214 × 190; 15 KB



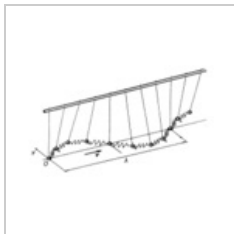
Premena.png  
95 × 52; 667 bytes



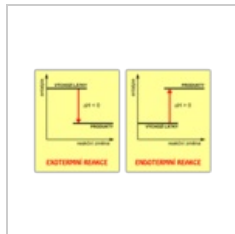
Prenosný doppler...  
600 × 800; 41 KB



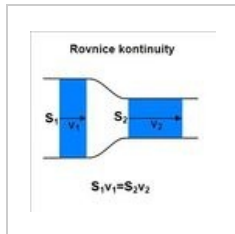
Prutokova cytom...  
4,011 × 2,322; 995 KB



Příčné vlnění.PNG  
224 × 134; 6 KB



Reakce entalpie...  
600 × 360; 26 KB

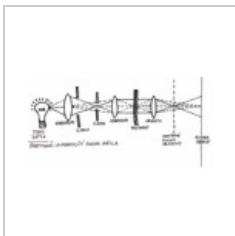


Rovnice kontinuit...  
227 × 222; 5 KB

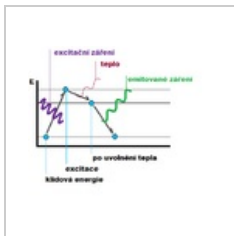


RTG záření v me...  
0 × 0; 578 KB

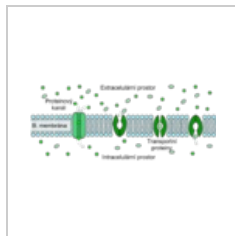




Schema fazovy ...  
2,457 × 1,207;  
1.32 MB



Schema-fluoresc...  
438 × 358; 9 KB



Scheme facilitate...  
581 × 254; 84 KB

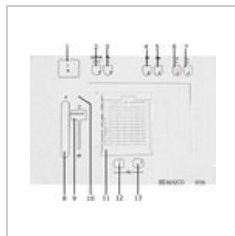
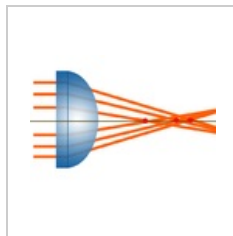
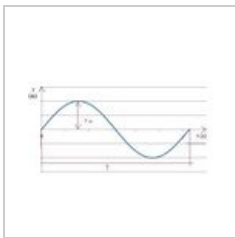


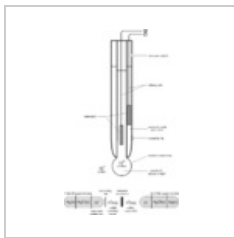
Schéma audiome...  
2,772 × 2,366;  
6.33 MB



Sfericka aberace...  
647 × 461; 43 KB



Sinusoida.jpg  
472 × 275; 13 KB



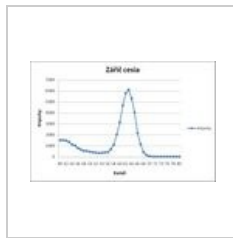
Sklenná elektro...  
517 × 837; 36 KB



Sluchova-draha...  
4,962 × 7,019;  
1.54 MB



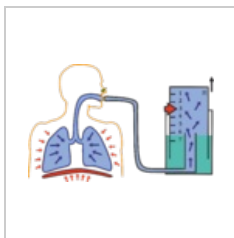
Spektrofotometr ...  
1,280 × 720; 66  
KB



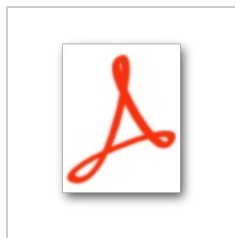
Spektrum zářiče.j...  
878 × 570; 66 KB



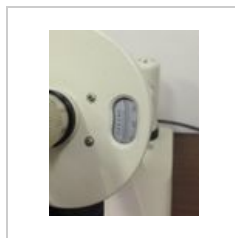
Spin castic.jpg  
819 × 460; 94 KB



Spiro2.png  
2,036 × 1,295; 277  
KB



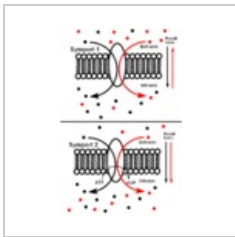
STAVBA HMOTY ....  
0 × 0; 205 KB



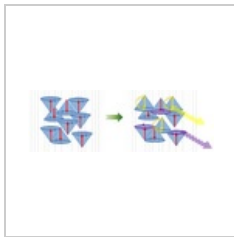
Stupnice.jpg  
2,109 × 2,607; 905  
KB



Svody.png  
938 × 757; 451 KB



Symport.png  
659 × 998; 27 KB



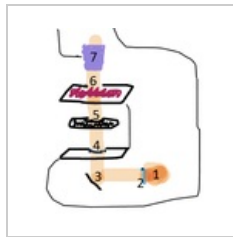
T1aT2.png  
1,166 × 392; 81  
KB

| Skupina | Barva   | Barva   | Barva   |
|---------|---------|---------|---------|
| 1       | Červená | Modrá   | Červená |
| 2       | Modrá   | Modrá   | Červená |
| 3       | Červená | Červená | Červená |
| 4       | Červená | Červená | Červená |
| 5       | Červená | Červená | Červená |
| 6       | Červená | Červená | Červená |
| 7       | Červená | Červená | Červená |
| 8       | Červená | Červená | Červená |
| 9       | Červená | Červená | Červená |
| 10      | Červená | Červená | Červená |
| 11      | Červená | Červená | Červená |
| 12      | Červená | Červená | Červená |
| 13      | Červená | Červená | Červená |
| 14      | Červená | Červená | Červená |
| 15      | Červená | Červená | Červená |
| 16      | Červená | Červená | Červená |
| 17      | Červená | Červená | Červená |
| 18      | Červená | Červená | Červená |
| 19      | Červená | Červená | Červená |
| 20      | Červená | Červená | Červená |

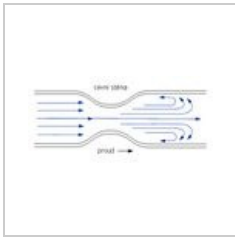
Tabulka.jpg  
399 × 228; 44 KB



Tissue engineeri...  
800 × 600; 66 KB



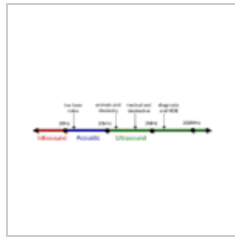
Tok svetla mikro...  
321 × 366; 25 KB



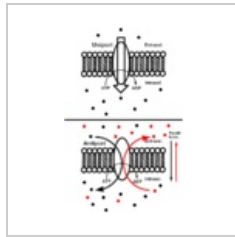
Turbulentni prou...  
451 × 209; 14 KB



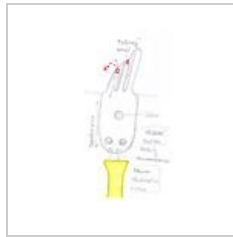
Ultrasonografie 1...  
960 × 540; 69 KB



Ultrasound range...  
481 × 114; 13 KB



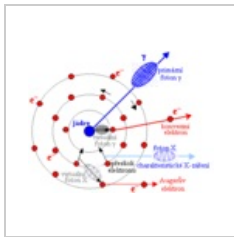
Uniport antiport...  
659 × 1,022; 25  
KB



Vlaskova-bunka.j...  
1,900 × 3,455; 647  
KB



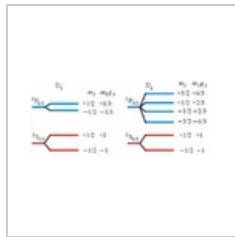
Vlastni gamabet...  
960 × 540; 75 KB



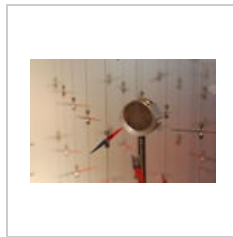
VnitriKonverze.gif  
342 × 264; 8 KB

$$E = h \frac{c}{\lambda}$$

Vzorec.png  
89 × 57; 964 bytes

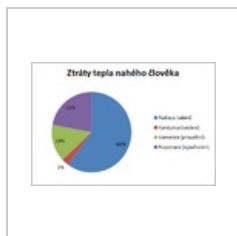


Zeemanův jev.png  
504 × 220; 60 KB

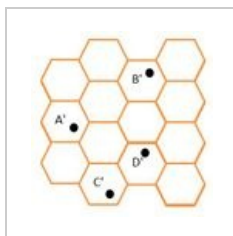


Zorientované ma...  
600 × 399; 39 KB





Ztraty graf..png  
457 × 303; 11 KB



Čípky.jpg  
320 × 325; 13 KB